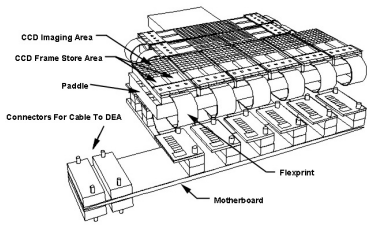


# Instrumentación para Astronomía de rayos X y $\gamma$

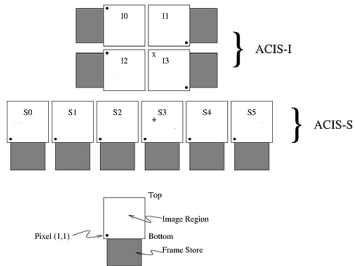
Juan Fabregat

Observatorio Astronómico de la Universidad de Valencia

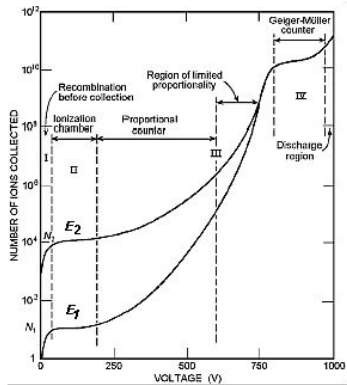
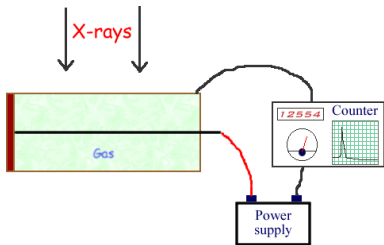
# Cámaras CCD



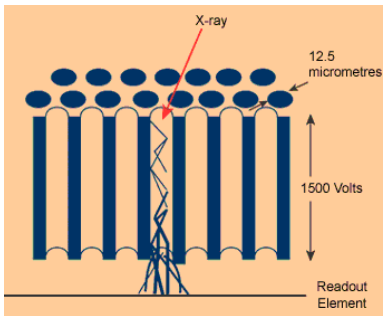
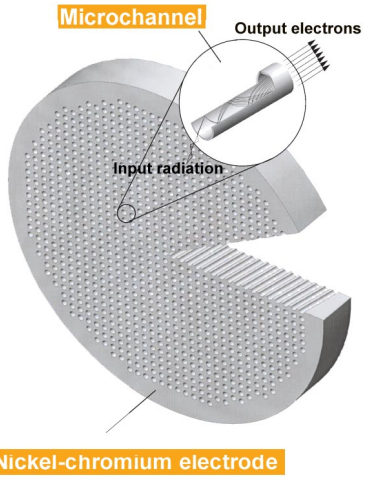
ACIS FLIGHT FOCAL PLANE



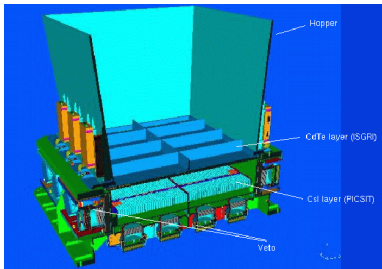
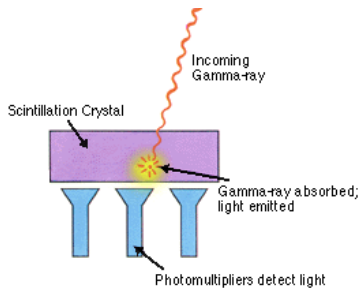
# Contadores proporcionales



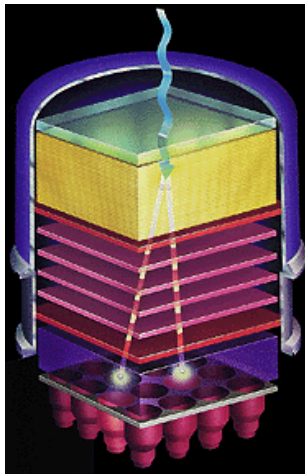
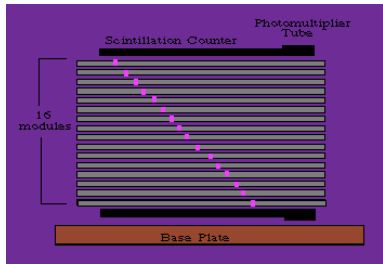
# Placas de microcanales

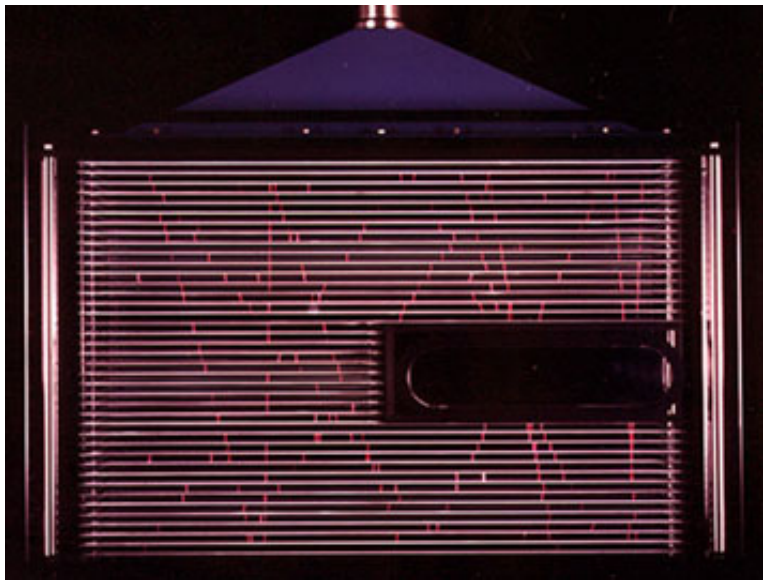


# Cristales centelleadores

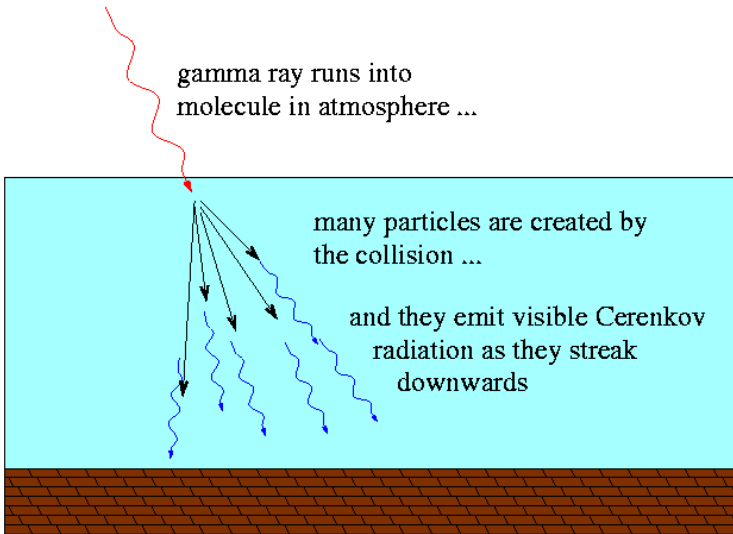


# Cámara de chispas





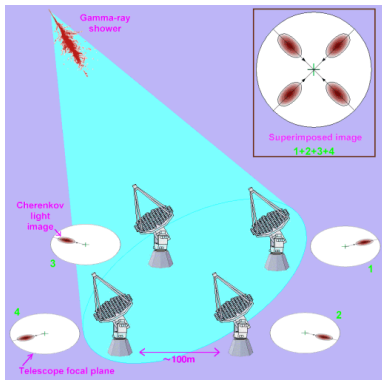
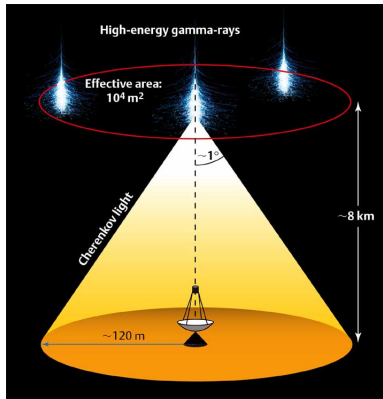
# Telescopios Cerenkov



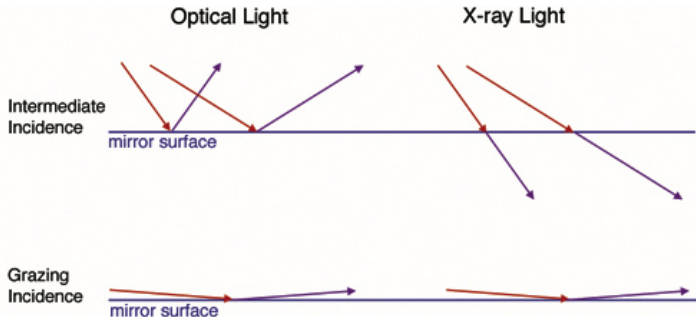
# Telescopios Cerenkov



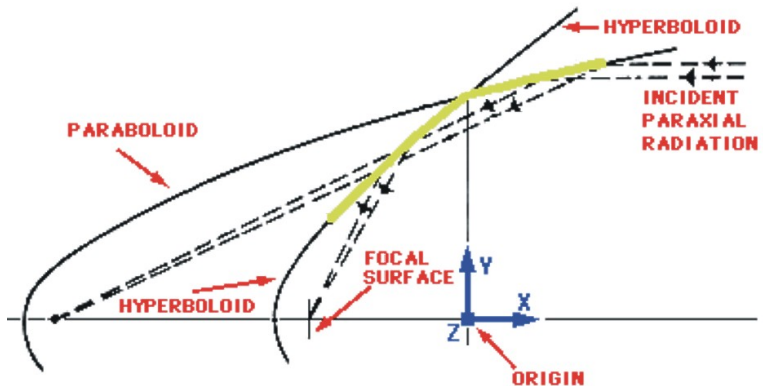
# Telescopios Cerenkov



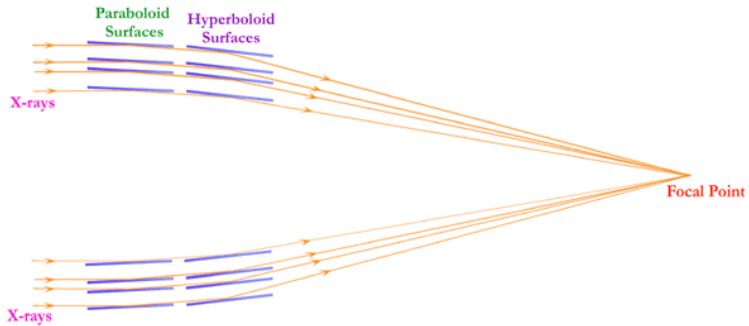
# Telescopios de incidencia rasante



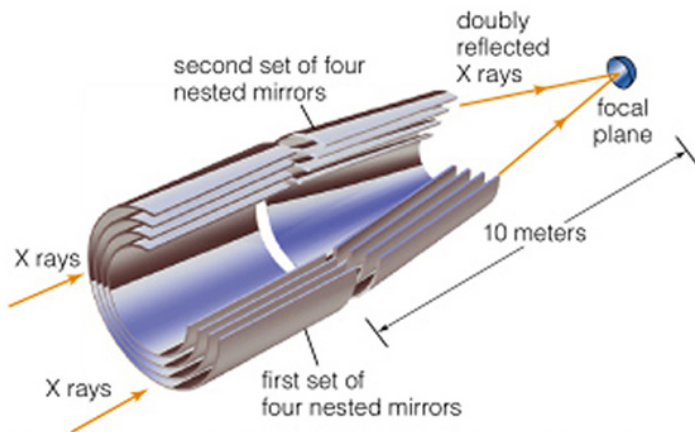
# Telescopios de incidencia rasante



# Telescopios de incidencia rasante

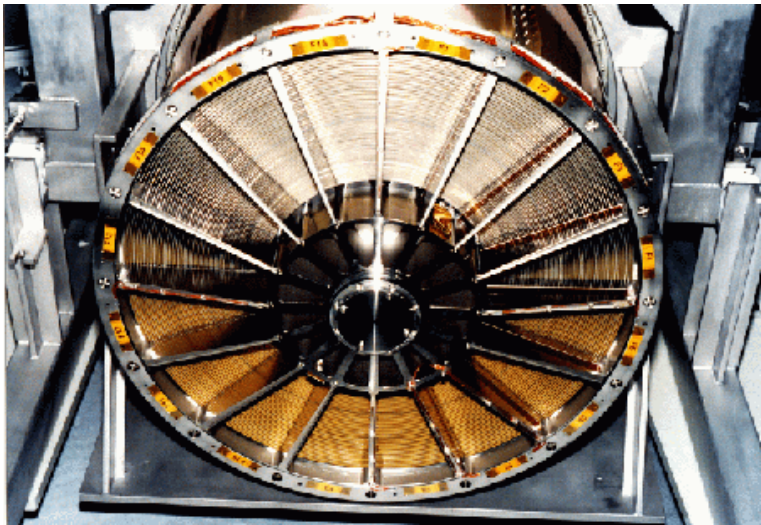


# Telescopios de incidencia rasante

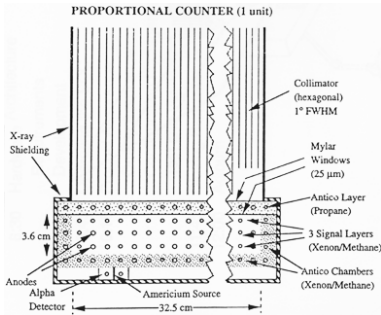
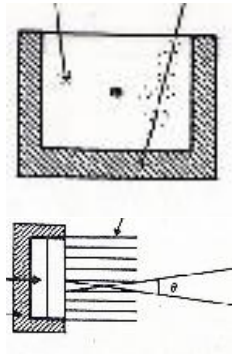


Mirror elements are 0.8 m long and from 0.6 m to 1.2 m in diameter.

# Telescopios de incidencia rasante (XMM)



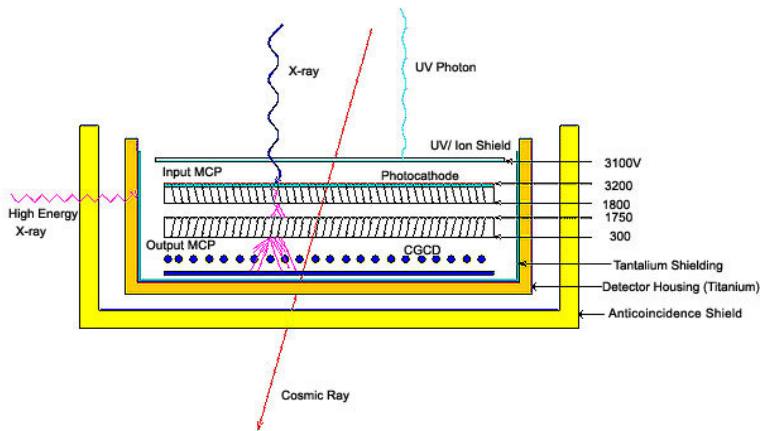
# Colimadores



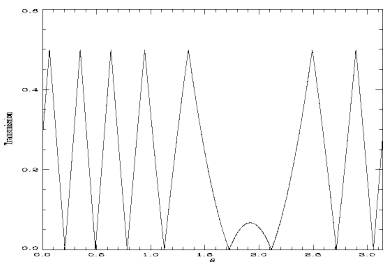
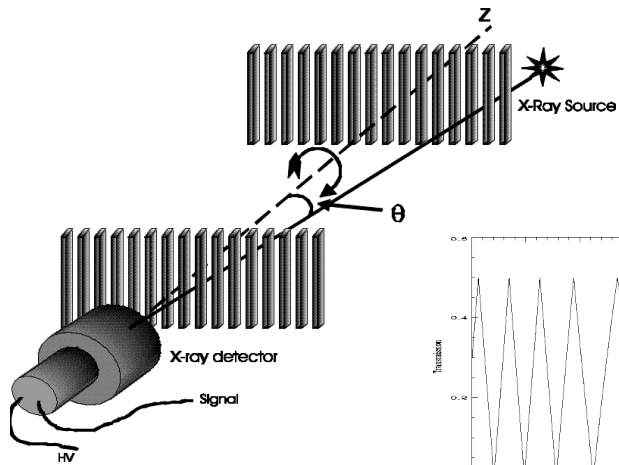
# Colimadores



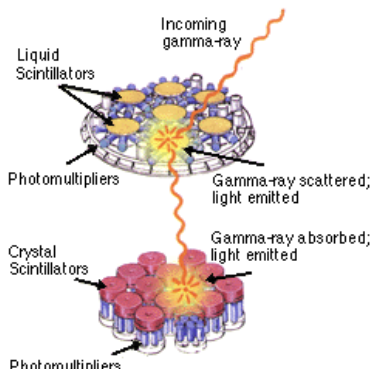
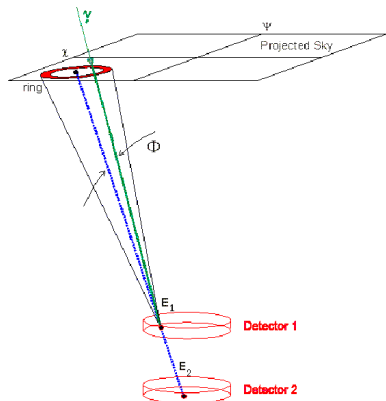
# Vetos activos



# Modulación rotacional



# Telescopio de Compton



# Telescopio de Compton

- Dispersión de Compton

$$\frac{\nu'}{\nu} = \frac{1}{1 + (h\nu/m_e c^2)(1 - \cos \theta)}$$

$$• \frac{\nu}{\nu'} = 1 + \frac{h\nu}{m_e c^2}(1 - \cos \theta)$$

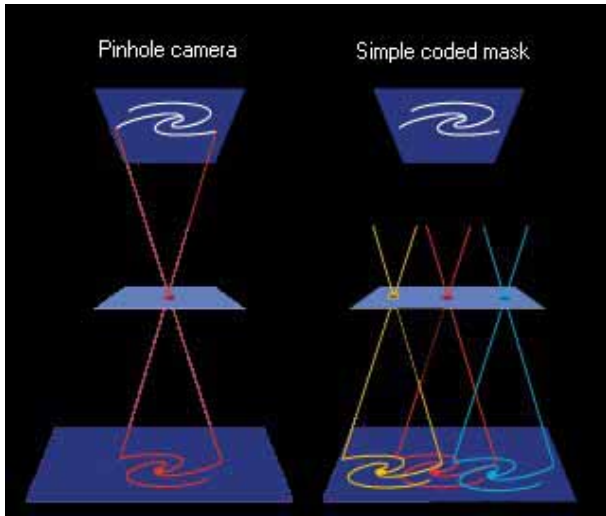
$$• \frac{E}{E'} = 1 + \frac{E}{m_e c^2}(1 - \cos \theta)$$

$$• \frac{E}{E'} - 1 = \frac{E}{m_e c^2}(1 - \cos \theta)$$

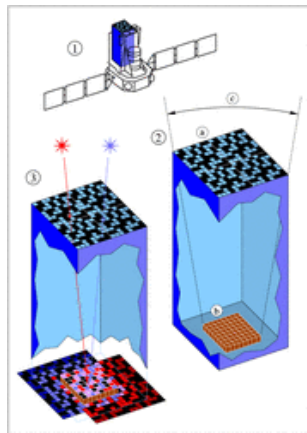
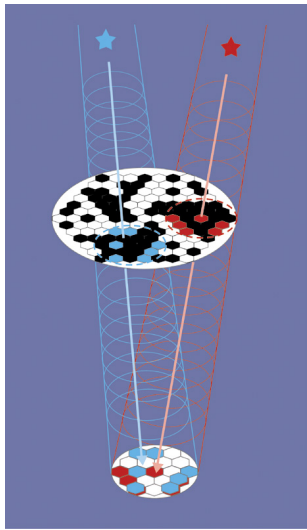
$$• \frac{m_e c^2}{E'} - \frac{m_e c^2}{E} = 1 - \cos \theta$$

$$• \cos \theta = 1 + \frac{m_e c^2}{E} - \frac{m_e c^2}{E'}$$

# Máscaras codificadas



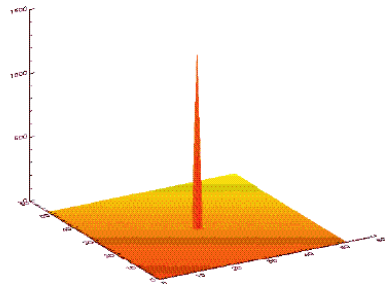
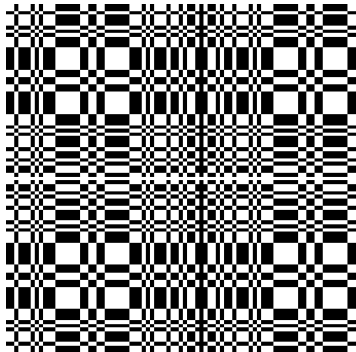
# Máscaras codificadas



# Máscaras codificadas

- Llamamos:
  - $S(x,y)$  al plano objeto
  - $A(x,y)$  a la apertura
  - $A'(x,y)$  a la apertura proyectada
  - $P(x,y)$  al plano imagen
  - $G(x,y)$  al proceso de decodificación
  - $\hat{S}(x,y)$  a la imagen reconstruida
- Codificación:  $S(x,y) * A'(x,y) = P(x,y)$
- Decodificación:  $P(x,y) * G(x,y) = \hat{S}(x,y)$
- $\hat{S}(x,y) = S(x,y) * [ A'(x,y) * G(x,y) ]$
- Si  $A'(x,y) * G(x,y) = \delta \rightarrow \hat{S}(x,y) = S(x,y)$

# Máscaras codificadas (IBIS-INTEGRAL)



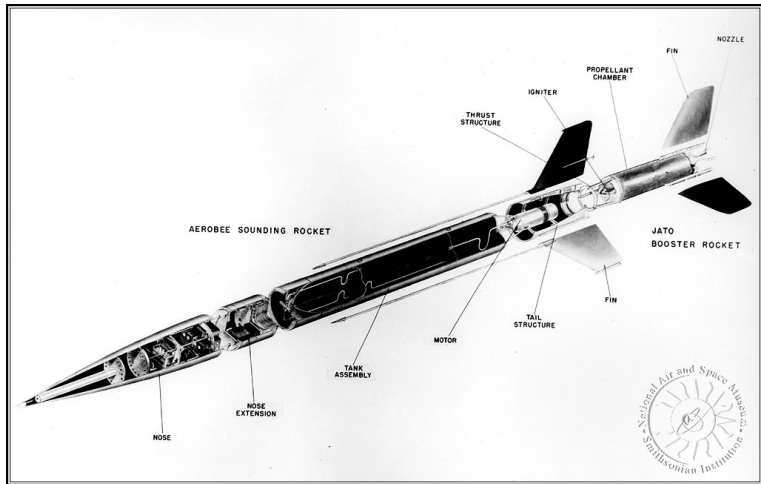
# Máscaras codificadas (INTEGRAL)



# Cohete V2



# Cohete Aerobee



# Cohete Aerobee

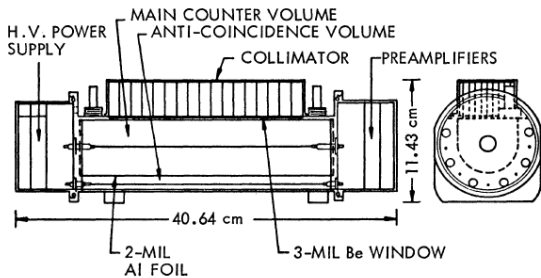


FIG. 1.—Cross-sectional view of a typical detector used in these experiments

# Cohete Aerobee

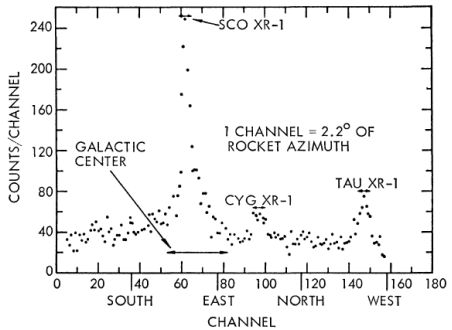
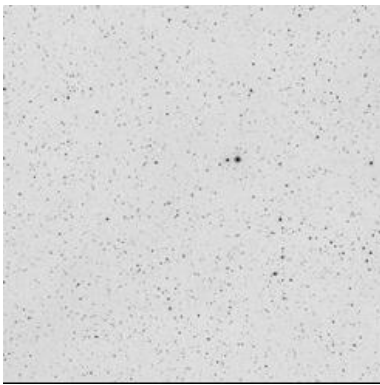
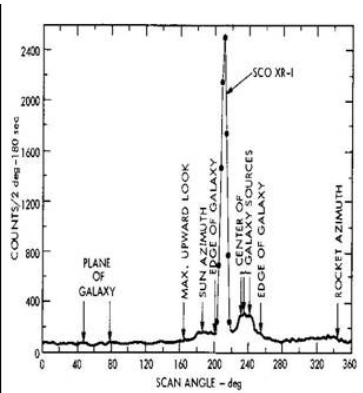
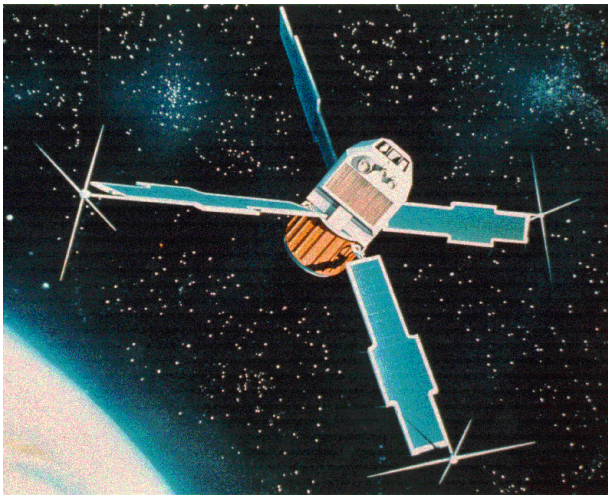


FIG. 4.—Total number of X-rays with energy between 4.3 and 28 keV observed for the 282 sec that the rocket was above 95 km as a function of azimuth during the July 28, 1966, rocket flight. One channel is  $2.2^\circ$  of azimuth. Dead time in the equipment resulted in exclusion of  $20^\circ$  of azimuth between  $270^\circ$  and  $250^\circ$ .

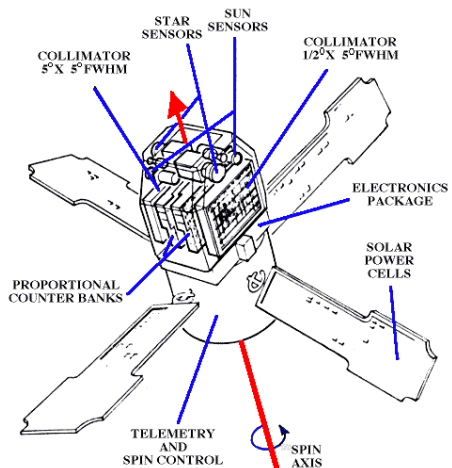
# Cohete Aerobee



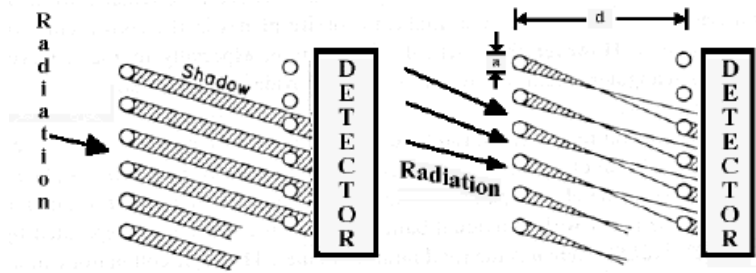
# UHURU (Small Astronomic Satellite 1, SAS-1, 1970-1974)



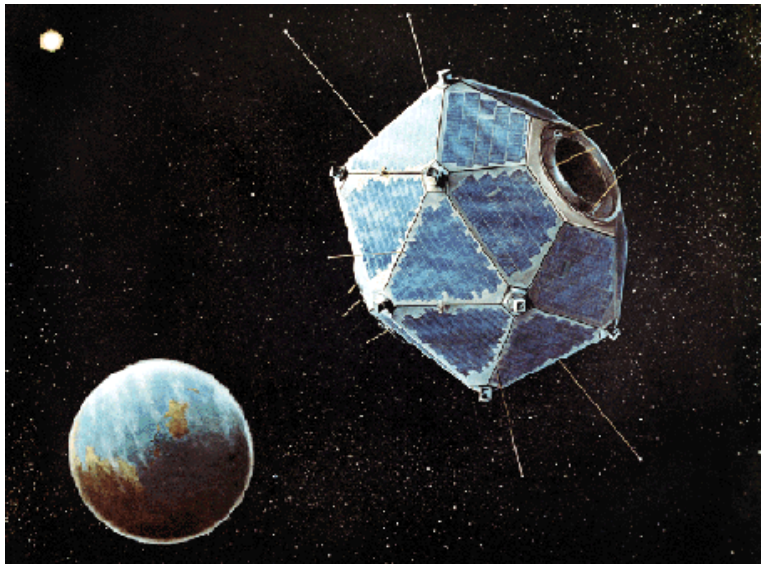
# UHURU (Small Astronomic Satellite 1, SAS-1, 1970-1974)



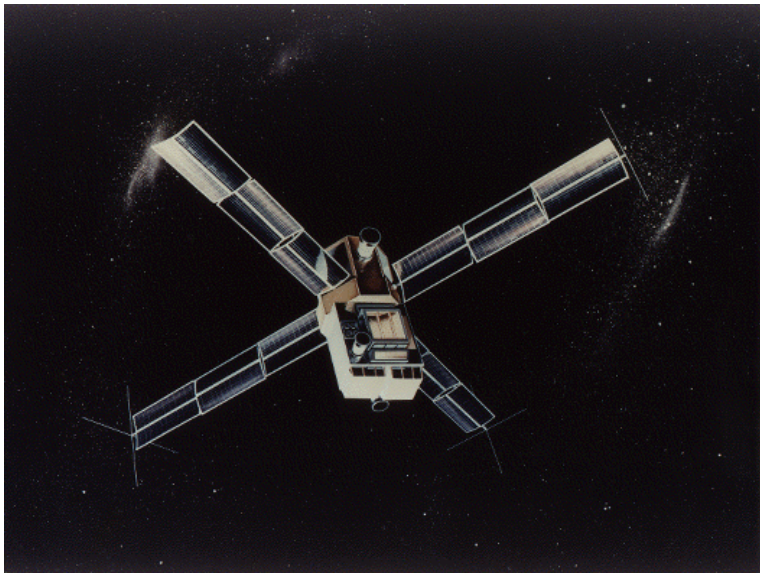
# UHURU (Small Astronomic Satellite 1, SAS-1, 1970-1974)



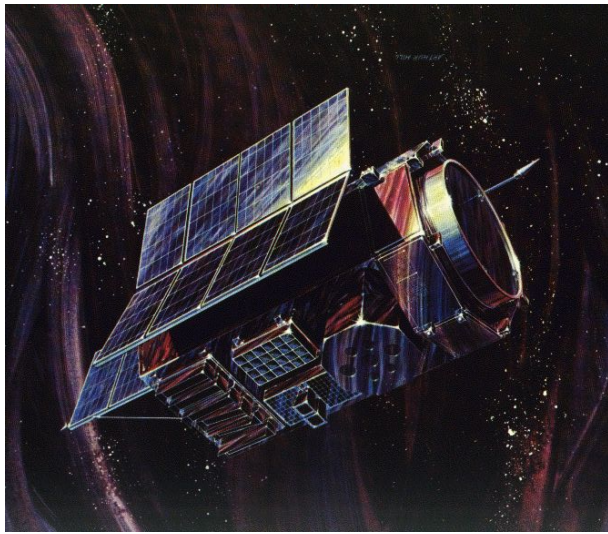
# Vela (1969-1979)



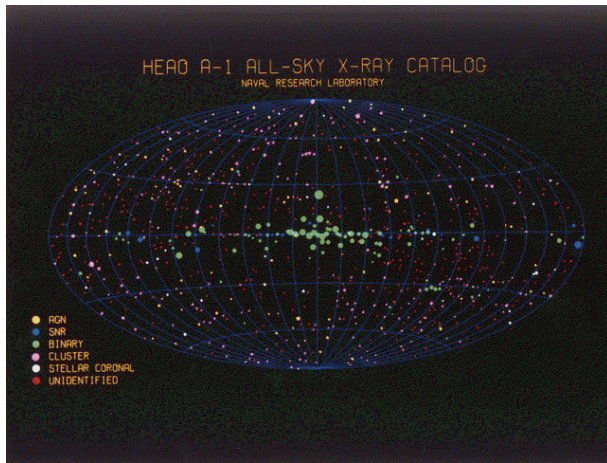
# SAS-3 (1975-1980)



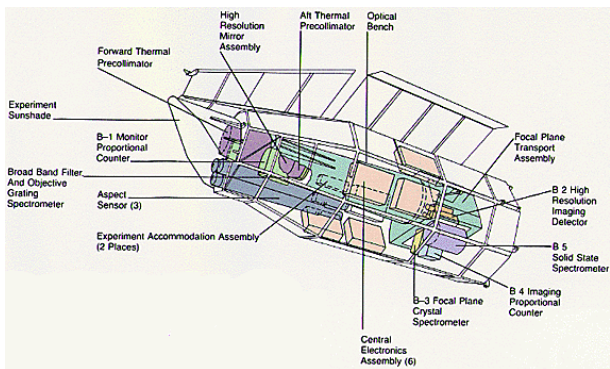
# HEAO-1 (High Energy Astronomy Observatory) (1977-1979)



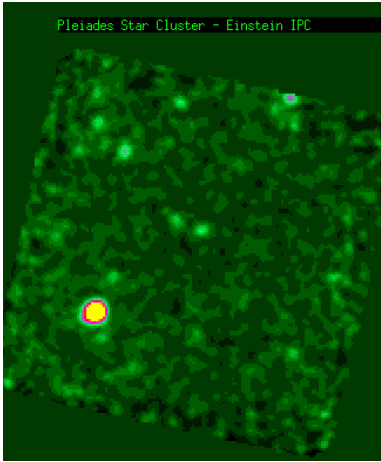
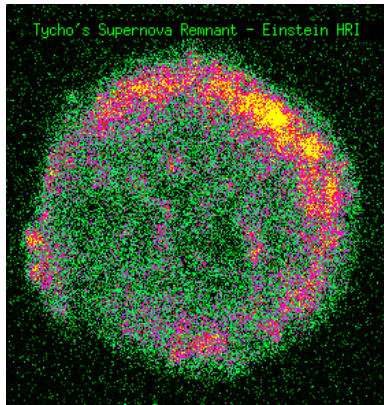
# HEAO-1 (High Energy Astronomy Observatory, 1977-1979)



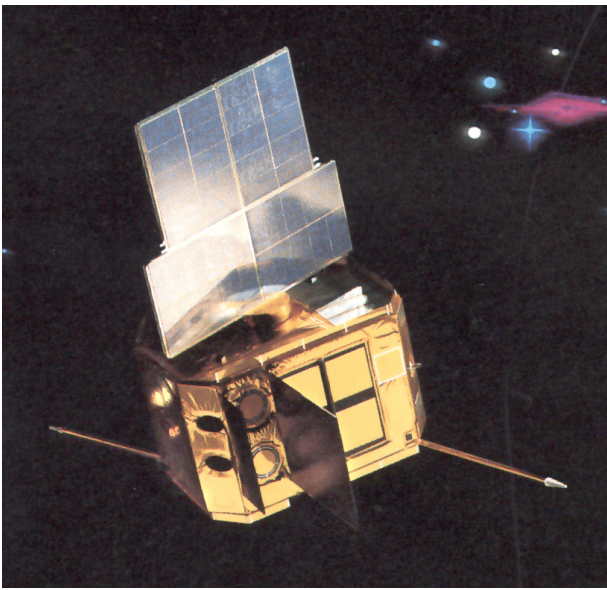
# Einstein, (HEAO-2, 1978-1981)



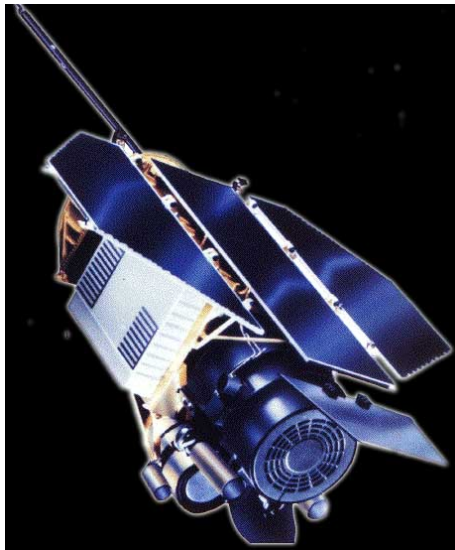
# Einstein (HEAO-2, 1978-1981)



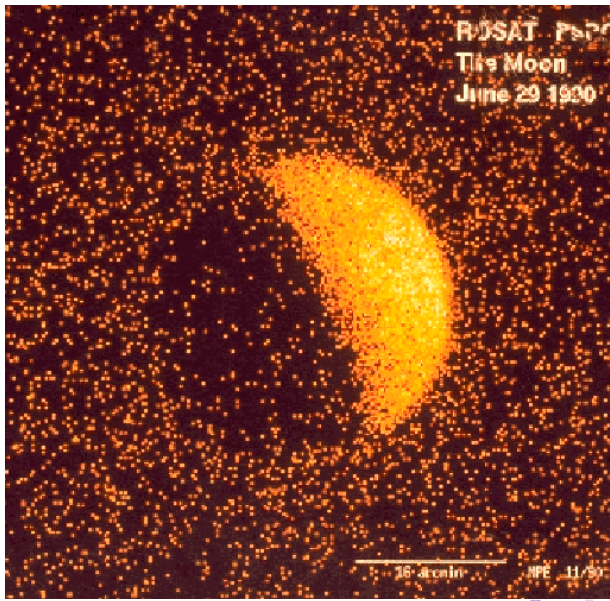
# Exosat (1983-1986)



# ROSAT (Roentgen Satellite, 1990-1999)



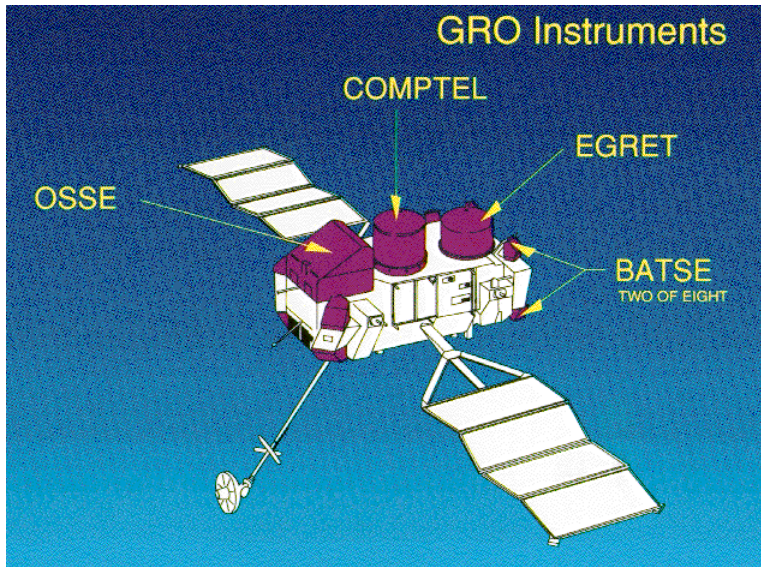
# ROSAT (Roentgen Satellite, 1990-1999)



# Compton Gamma-Ray Observatory (CGRO, 1991-2000)

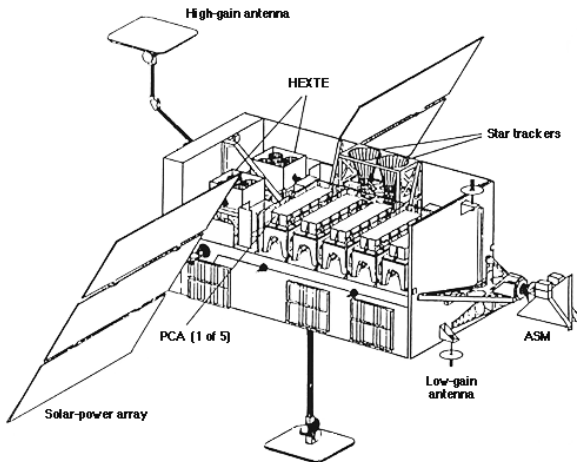


# Compton Gamma-Ray Observatory (CGRO, 1991-2000)

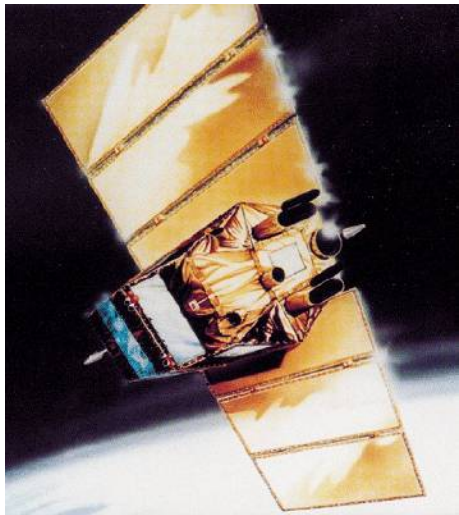


# RXTE (Rossi X-ray Timing Explorer, 1995-2012)

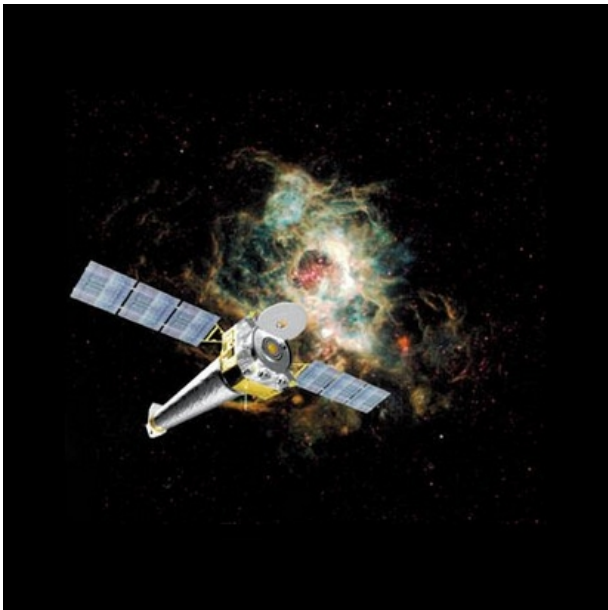
## XTE Spacecraft



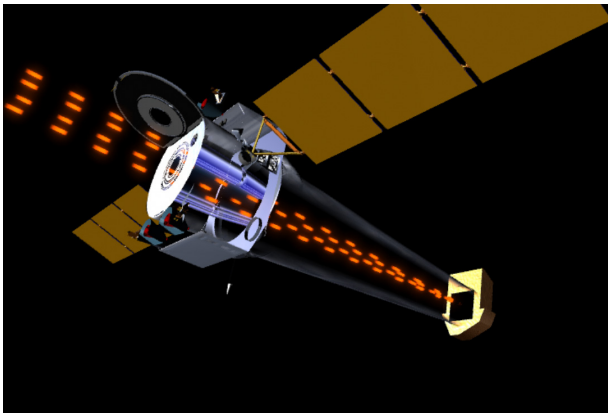
# BeppoSAX (1996-2002)



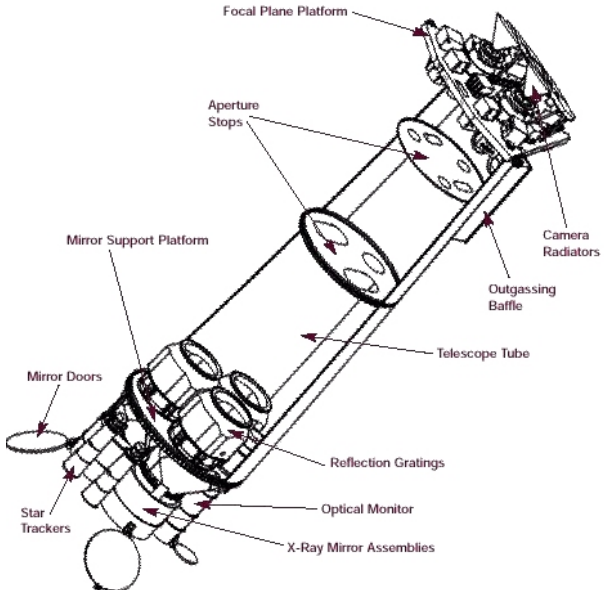
# Chandra X-ray Observatory (1999)



# Chandra X-ray Observatory (1999)



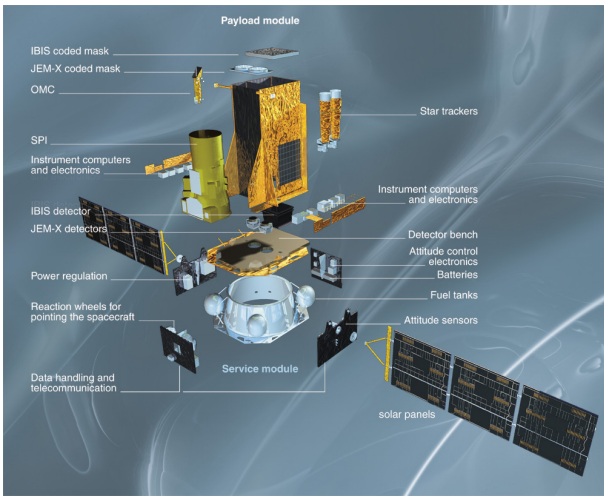
# X-ray Multi-Mirror Mission (XMM-Newton, 1999)



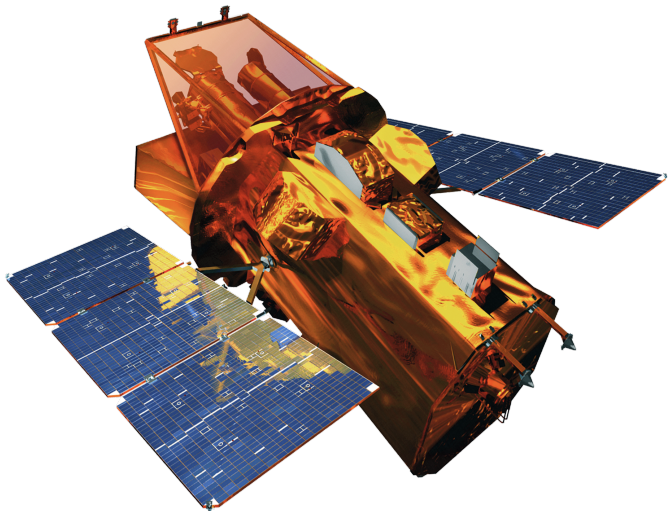
# International Gamma-Ray Astrophysical Laboratory (INTEGRAL, 2002)



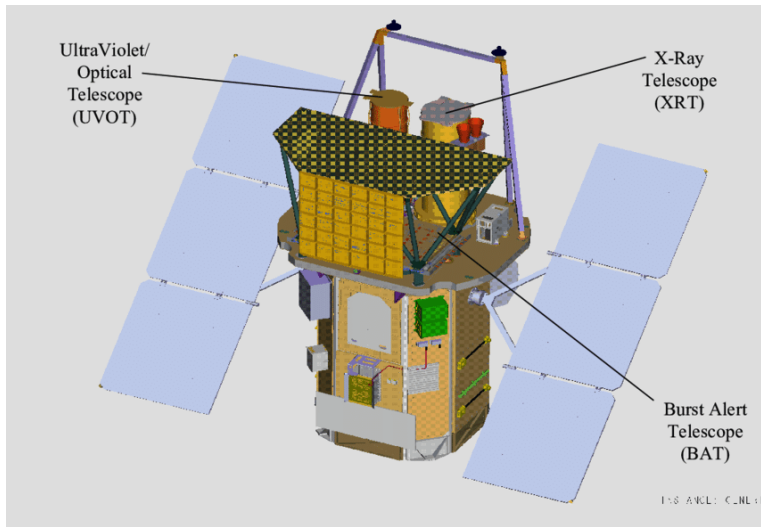
# International Gamma-Ray Astrophysical Laboratory (INTEGRAL, 2002)



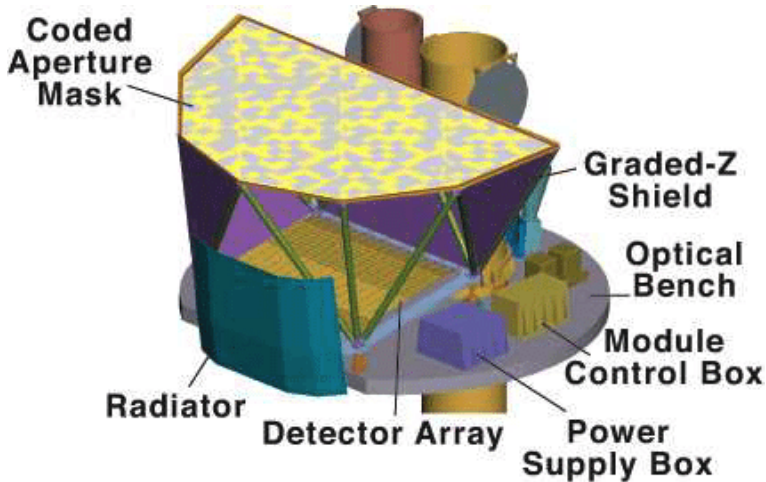
# Neil Gehrels Swift Observatory (2004)



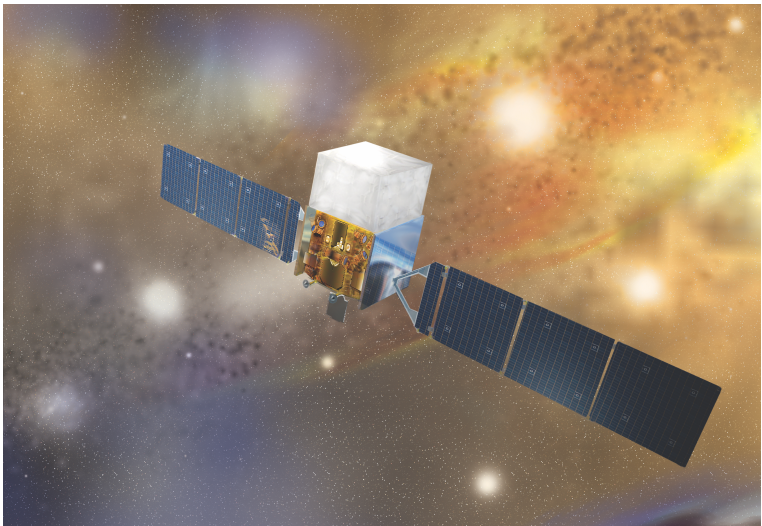
## Neil Gehrels Swift Observatory (2004)



# Neil Gehrels Swift Observatory (2004)



# Fermi Gamma Ray Space Telescope (2008)



# Fermi Gamma Ray Space Telescope (2008)

